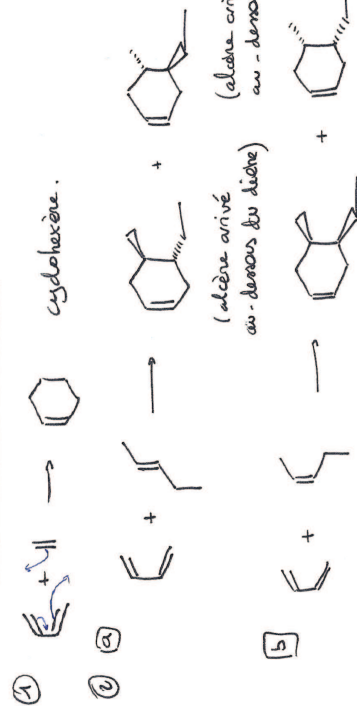


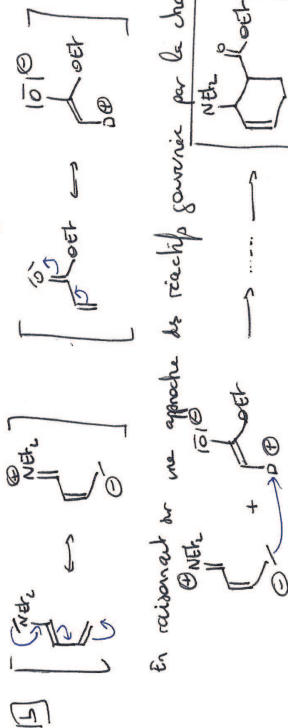
Orga - Cinétique - Thérmodynamique PC ST.

① REACTION DE DIELS-AUDER.



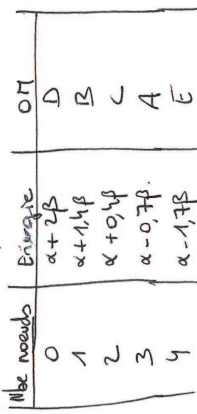
Q Es produziert aus der dienophilen (E) und der antiophilen (Z) = paraffin der $\text{CH}_3\text{CH}_2\text{Cl}$ \Rightarrow trans-1-chloro-2-butene.

③ 2 - $\bar{N}Et_2$: résonance donner . (at mainne resonance : individual attractor).

En raison de l'effet de resonance par la charge :

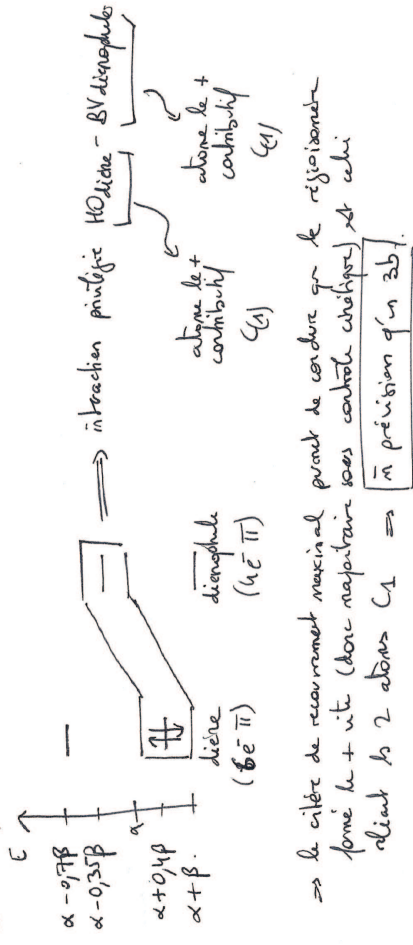
+ number der infektiösen nodals ist klar, plus C' von der häutigen eingesetzte.



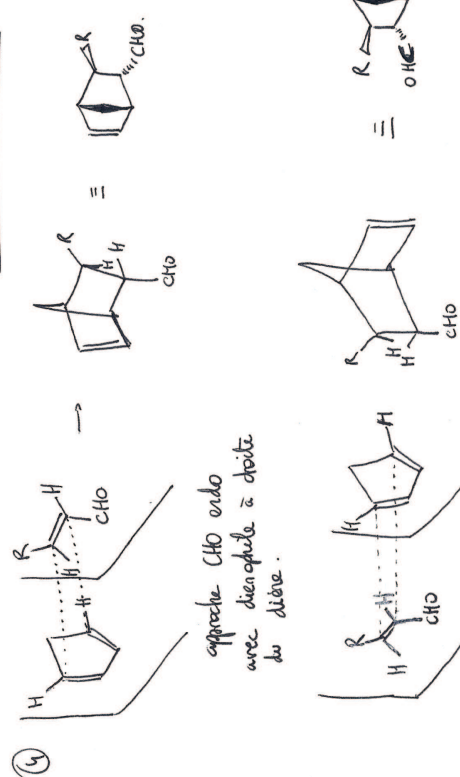
avec dichroïque à gauche
derrière.

\Rightarrow Choix pas ordonné au meilleur.

[d] Identificare le funzionalità HO-BU privilegiate:



→ le critère de recouvrement maximal prend la forme que le régisseur forme le + utile (donc majoritaire sous contrainte cohérente) et ainsi aboutit à 2 états $C_1 \Rightarrow$ [en prévision d'un événement].



approche de CMO en des
avec dichotomie à gauche
de droite.

\Rightarrow Choix pas ordonné au meilleur.

1

② CINETIQUE EN PHASE GAZEUSE

$$① \left[n_0 = \frac{P_0 V}{R T} \right] \quad \text{et} \quad \left[C_0 = \frac{n_0}{V} = \frac{P_0}{R T} \right]$$

$$② \begin{array}{|c|cc|} \hline & \frac{\partial n_0}{\partial t} = & \frac{\partial n_0}{\partial t} + \frac{\partial n_0}{\partial P_0} \frac{\partial P_0}{\partial t} \\ \hline t=0 & n_0 & 0 \\ R & n_0 - \Sigma & \Sigma \\ \hline \end{array} \quad \text{partie totale : } P = n_0 \frac{RT}{V}$$

$$\Rightarrow \boxed{\Sigma = \frac{(P-P_0)V}{RT}}$$

$$③ \text{Loi de masse d'ordre } 4 : \quad J = k [SO_2 \varphi_1] = - \frac{d[SO_2 \varphi_1]}{dt} \Rightarrow k_1 n_{SO_2} \varphi_1 = - \frac{dn_{SO_2} \varphi_1}{dt}.$$

$$\Rightarrow k(n_0 - \Sigma) = - \frac{d(n_0 - \Sigma)}{dt}.$$

$$\Rightarrow \frac{d\Sigma}{dt} = k(n_0 - \Sigma).$$

$$\text{or } \Sigma = \frac{V}{RT} P - \frac{P_0 V}{RT} \Rightarrow \frac{d\Sigma}{dt} = \frac{V}{RT} \frac{dP}{dt} = k n_0 - k \frac{(P-P_0)V}{RT}.$$

$$\frac{dP}{dt} = k P_0 - k P + k \varphi_1 \Rightarrow \frac{dP}{dt} + k P = 2k P_0$$

④ Solution générale : $P = A e^{-kt}$ avec A une constante
solution particulaire cherchée sous forme d'une de la séparation des dt.

$$\frac{dP}{dt} = 0 \Rightarrow k P_{part} = 2k P_0 \Rightarrow P_{part} = 2P_0.$$

$$\Rightarrow P(t) = A e^{-kt} + 2P_0$$

$$\text{or à } t=0, \quad P = P_0 \Rightarrow A = -P_0 \Rightarrow \boxed{P(t) = P_0 (2 - e^{-kt})}$$

Graphiquement, il faudrait tracer la proportion : sur 2 temps

- ① isoler le terme exponentiel
- ② prendre la logarithme

$$e^{-kt} = 2 - \frac{P}{P_0} \Rightarrow \boxed{\ln\left(2 - \frac{P}{P_0}\right) = -kt}$$

Notation valide si le tracé de $\ln\left(2 - \frac{P}{P_0}\right)$ = f(t) donne une droite parallèle à l'origine avec un coefficient négatif - k.

$$⑤ \text{ Calculrice : } \ln\left(2 - \frac{P}{P_0}\right) = f(t) = -0,0198t - 3,5164 \quad \text{avec} \quad \text{corr} = -0,999993$$

Points alignés \Rightarrow identification forme à la même partition

$$\Rightarrow \boxed{k = 0,0198 \text{ min}^{-1}}$$

⑥ Tps de demi-vie : $t_{1/2}$ au bout duquel la moitié du réactif disparaît à ce moment.

$$\text{Tir de corollaire à } n_{SO_2 \varphi_1} = \frac{n_0}{2} \Leftrightarrow n_0 - \Sigma = \frac{n_0}{2} \Leftrightarrow \Sigma = \frac{n_0}{2} \Leftrightarrow \boxed{P = 1,5 P_0}.$$

$$\Rightarrow \ln\left(2 - \frac{1,5 P_0}{P_0}\right) = -k t_{1/2} \Rightarrow \boxed{t_{1/2} = \frac{\ln 2}{k} = 35 \text{ min.}}$$

$$⑦ \quad \text{à } 582,30 \text{ K}, \quad t_{1/2} = 17,5 \text{ min.} \Rightarrow \boxed{k_{SO_2} = 0,0356 \text{ min}^{-1}}$$

$$\text{Loi d'Arrhenius} \Rightarrow \ln\left(\frac{k_{SO_2}}{k_{573}}\right) = - \frac{E_a}{R} \left(\frac{1}{582} - \frac{1}{573} \right) \Rightarrow \boxed{E_a = 214 \text{ kJ mol}^{-1}}$$

$$= 2$$

$$⑧ \quad \text{réac en chaîne car présence d'un maillon :} \quad \boxed{\frac{C_0 \cdot \Sigma^2 \cdot \varphi_1^2}{SO_2 \varphi_2 \cdot (2) \cdot (2)}} \rightarrow SO_2$$

Propagation = (2) et (3)
Initiateur = (1)
Termination = (4)

$$⑨ \quad \nu = - \frac{d[SO_2 \varphi_1]}{dt} = \nu_1 + \nu_3 \text{ d'ap. le mécanisme.}$$

$$\text{ou} \quad \nu_{SO_2} \text{ et } \nu_{SO_2} \text{ :} \quad \nu_1 + \nu_2 = \nu_3 + \nu_4.$$

$$\text{à } SO_2 \text{ :} \quad \nu_1 + \nu_3 = \nu_2 + \nu_4.$$

$$\Rightarrow \nu_1 = \nu_4 \quad \text{et} \quad \nu_2 = \nu_3$$

donc valeur de la réaction : $\nu = \nu_1 + \nu_3 = k_1 [SO_2 \varphi_1] + k_3 [SO_2 \varphi_1]$
à exprimer grâce à ATQ's

$$\nu_1 = \nu_4 \Leftrightarrow \boxed{k_1 [SO_2 \varphi_1] = k_4 [SO_2 \varphi_1]}$$

$$\nu_2 = \nu_3 \Leftrightarrow \boxed{k_2 [SO_2 \varphi_1] = k_3 [SO_2 \varphi_1]}$$

$$\Rightarrow k_1 [SO_2 \varphi_1] = k_4 [SO_2 \varphi_1] \times \boxed{\frac{k_3 [SO_2 \varphi_1]}{k_2 k_4}}$$

$$\Rightarrow \boxed{[\varphi_1] = \sqrt{\frac{k_1 k_2}{k_3 k_4}}} \quad \Rightarrow \quad \boxed{\nu = k_1 [SO_2 \varphi_1] \left(1 + \sqrt{\frac{k_2 k_3}{k_1 k_4}} \right)}$$

③

④

10) si $\nu_2 > \nu_1$, alors $\nu_3 > \nu_1$ car $\nu_2 = \nu_3$.

$$\Rightarrow \nu \approx \left[\frac{k_1 k_2 k_3}{k_1} [SO_4^{2-}] \right]$$

$$k = A e^{-E_a/RT} \text{ et } \nu_i = A_i e^{-E_i/RT}$$

$$k = \sqrt{\frac{k_1 k_2 k_3}{k_1}} \Rightarrow \text{ap identique, } E_a = \frac{1}{2} (\nu_{\text{a}} + \nu_{\text{a}_2} + \nu_{\text{a}_3} - \nu_{\text{a}_4})$$

(3) Thermodynamique.

$$\textcircled{1} \Delta H^\circ_I = \Delta H^\circ \text{ associé à } I_2 = \Delta H^\circ \text{ associé à } I_2$$

$$Ca(g) = Ca^+(g) + e^-(g)$$

$$Ca^+(g) = Ca^{2+}(g) + e^-(g)$$

$$ESR(Ca, 298K) = Ca(a)$$

$$ESR(F, 298K) = F(g)$$

$$\textcircled{2} R^\circ \text{ de formation : } Ca(a) + F_2(g) = CaF_2(a)$$

$$\Delta H^\circ(CaF_2, 0, 298K) = H_m^o(CaF_2, 0) - H_m^o(Ca, 0) - H_m^o(F_2, 0)$$

$$\textcircled{3} \Delta H^\circ \rightarrow CaF_2(a) \xrightarrow{\Delta H^\circ} Ca^+(g) + 2F^-(g)$$

$$-H^\circ(CaF_2, 0) \xrightarrow{\Delta H^\circ} I_2 + I_2 + 2A.$$

$$Ca(a) + F_2(g) \xrightarrow{\Delta H^\circ} I_2(a) \xrightarrow{\Delta H^\circ} Ca(g) + 2F(g).$$

$$\boxed{\Delta H^\circ(CaF_2, 0) = -\Delta H^\circ(CaF_2, 0) + \Delta H^\circ(I_2, 0) - 2H^\circ(A)} = 2610 \text{ kJ/mol'}$$

A affinité électronique : ΔH° associé à $F(g) = e^-(g) + F^-(g)$.
hence la réaction inverse $F(g) + e^- = F^-(g)$ et associée à $-A$.

5) quand on divise la réaction des halogénes (F vers I), l'énergie d'ordinaire décalée : le composé sur le plus en plus ionique.
(il faut former moins d'énergie pour l'ionisation).

$$\textcircled{3} \Delta H^\circ(298K) = 2\Delta H^\circ(HF, g) + \Delta H^\circ(CaF_2, 0) - \Delta H^\circ(CaI, 0) = 69,8 \text{ kJ/mol'}$$

D'autre part, $\Delta H^\circ = \sum \nu_i \nu_i^\circ = -47,7 \text{ kJ/mol'}$

$$\text{or } \frac{d\Delta H^\circ}{dT} = \Delta \varphi^\circ \Rightarrow \frac{d\Delta H^\circ}{d\Delta \varphi^\circ} = \frac{d\Delta H^\circ}{dT} = \frac{\Delta H^\circ}{298K}.$$

$$\boxed{\Delta H^\circ(573K) = \Delta H^\circ(298K) + \Delta \varphi^\circ(573 - 298) = 56,7 \text{ kJ/mol'}}$$

$\Delta H^\circ > 0 \Rightarrow$ réaction endothermique -

$$\textcircled{4} \text{ Q } I_{CaF_2} = 2,82 \cdot 10^{-3} \text{ mol.}$$

$$n_{H_2SO_4} = 2,86 \cdot 10^{-3} \text{ mol.}$$

$$CaF_2(a) + H_2SO_4(l) = 2HF(g) + CaSO_4(s).$$

$$\underbrace{n_1}_{n_1 - 3}, \underbrace{n_2}_{n_2 - 9}, \underbrace{n_3}_{n_3 - 9}, \underbrace{n_4}_{n_4 - 9}$$

le rendement limitatif \Rightarrow le rendement total : $n_1 - 3 = 0 \Rightarrow n_1 = 3$

$$\boxed{\rho = \frac{\pi r^2 h}{V} = \frac{\pi (d/2)^2 L}{V} = 141 \text{ m}^3}$$

$$\text{avec } V = \pi \left(\frac{d}{2} \right)^2 L = 141 \text{ m}^3$$

5) le volume sud des $141/4 - 0,2 \text{ m}^3 \Rightarrow \rho' = 1,96 \text{ bar} \text{ (valeur de } 0,14\%)$.

6) chauffer la réaction (1) solide CaF₂ et à liquide H₂SO₄) consiste à éléver la température de phases condensées.

$$\Delta H = \frac{Q_1}{T} = \Delta H \text{ solide} + \Delta H \text{ liquide} = n_{CaF_2} \varphi^\circ(CaF_2) \Delta T_{CaF_2} + n_{H_2SO_4} \varphi^\circ(CaSO_4) \Delta T_{H_2SO_4}$$

$$\Rightarrow \boxed{Q_1 = 161 \text{ kJ}}$$

Pour la phase de R⁰ à T, p, c_{T,p}, $\Delta H = Q = \Delta H^\circ \cdot (T_{\text{final}} - T_{\text{initial}})$

$$\boxed{Q_2 = 160 \text{ kJ}}$$

$$\Delta T = 573K,$$

$$\boxed{Q_2 = 56,7 \cdot 10^{-3} \times 2,82 \cdot 10^3}$$

5)

5) (a) $u_1 = u_{1r}(y) + u_{10}(y) = u_{1r,0}(y) \quad \text{mod}$

at App	1	1	0
at finds	1- α	1- β	β
	$1-\alpha$	$1-\alpha$	α

car α a été donné à l'initiale = $\frac{\beta}{1-\beta}$

5) A l'équilibre dinique $u_2^0 = Q_r = \frac{\text{Payoff}_r P^0}{\alpha}$

$$At \quad final, \quad \Delta H = \Delta H_A + \Delta H_B = 0.$$

$$\Delta T_{\text{max}} = - \frac{\Delta H^\circ \times A}{C_{\text{reactor}} + 1 \times C_{\text{final}}} \rightarrow \Delta N : \Delta T_{\text{max}} = 81 \text{ } ^\circ\text{C}$$

5 A &quilibrium dirigible $R_2 = Q_r = \frac{\text{Pushed} \cdot p^0}{\text{Area}} = \text{cav. air.} \cdot \text{Vol.} \cdot p^0$

$$\text{or } \rho^* = \rho_{1,1} \quad \boxed{\begin{array}{cc} \rho_{1,0} & \approx 1 \\ \rho_{0,1} & \approx 1 \end{array}}$$

□ Formel für die allgemeine Rechteck: $L \cdot (g_1 + 2 \cdot g_2) = G_{\text{Rechteck}}$

卷之四

$$\Delta_{\text{CH}}^{\text{HCO}}(\log \mu) = [\Delta_{\text{HCO}}^{\text{H}_2}(\log \mu, \text{OH}) - \Delta_{\text{HCO}}^{\text{H}_2}(\log \mu, \text{H}_2\text{O})].$$

$$\Delta H_{\text{f}}(298K) = -45,6 \text{ kJ mol}^{-1} \quad (< 0 \Rightarrow \text{exothermic})$$

$$\partial \Delta(\rho) = -12, 2, 1, -1$$

$$\textcircled{e} \quad n_2(400k) = 0.236 \quad \rightarrow \quad \alpha = 1.85 \text{ (infeasible)} \quad \text{or} \quad \sqrt{\lambda} = 0.10 \text{ (acceptable)}$$

↳ 10% de l'efficacité
= efficacité normale.

1

1

ii) chemin réel : T et J varient peu adéquatement la transformation en 2 (réaction à 600K puis avec un choc de gaz, transfert des composés des routes).

$$\Delta H = \Delta Q = 0$$

↓

<u>that int.</u> 1 mol H_2 + 1 mol Cl_2 \rightarrow 1 mol H_2Cl_2	<u>that final</u> 1 mol de ethanol \rightarrow T_f .
--	---

$$\frac{\text{Elect field}}{1 \text{ mol dilute g}}$$

$$\Delta H = 1 \times 1^{\circ} \text{C} (\text{heat}), \Delta T$$

B + G (heat) ΔT

卷之二

1

4 - SPECTROSCOPIES

	δ (ppm)	Nbr
a	0,74	3H bordet = couple \approx NH : <u>CH₂ - CH</u>
b	0,86	3H bordet = couple \approx NH : <u>CH₂ - CH₂ -</u>
c	1,10	3H bordet = couple \approx NH : <u>CH - CH</u>
d	1,60-2,0	6H = mélange \rightarrow biphase d'espérance de carbonyls
e	3,68	2H bordet \rightarrow <u>CH₂ - CH</u>
f	4,08	1H. carbonyls multiples (\oplus) d'absorbance \rightarrow pro

~~Sac-Sac car + elogia' do C~~

A hand-drawn skeletal structure of cyclohexane. The six carbon atoms are represented by numbered circles (1 through 6) placed at the vertices of a hexagon. Double bonds are drawn between carbons 1 and 2, 3 and 4, and 5 and 6. Single bonds connect each vertex to its neighbors, forming the ring. Hydrogen atoms are labeled with 'H' next to their respective carbons.

d) hypothèse de l'assortiment car au sein d'un groupe de coquilles et de lait le taux de bancalage des coquilles complexes

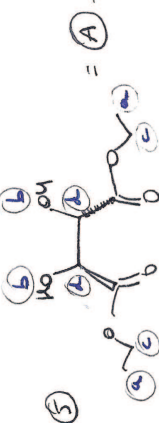
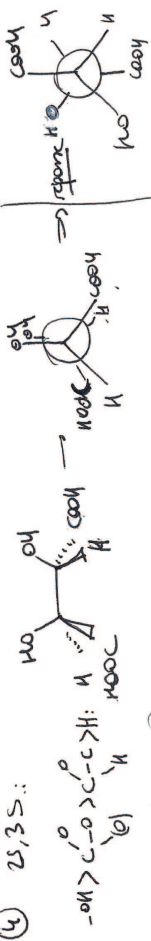
@ et @ très débordés car très proches de 0

1

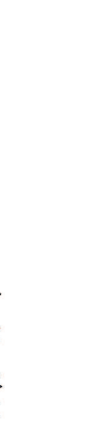
16: 2

$$\Delta \lambda = 1 \times (p_{\text{each}}) \cdot \frac{\Delta T}{B} + p_{\text{each}} \Delta T$$

④ 25,35 : -

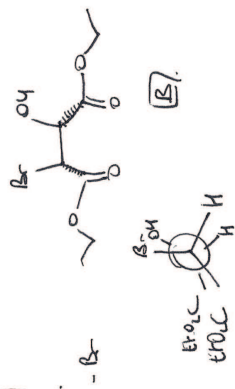


17350 cm⁻¹ : CO d'acide.

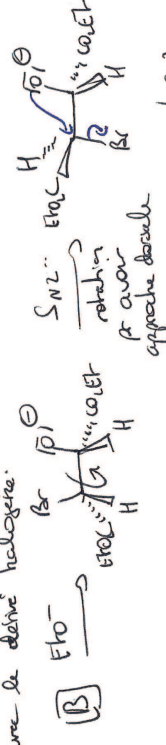


⑥ 1 signal apparaissant en IRN \Rightarrow perte de la symétrie.

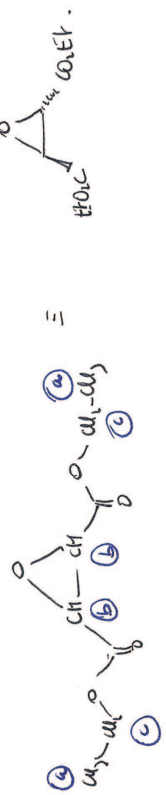
FR : entre l'oxygène présent (1730 cm⁻¹)
alcool aussi (3300 cm⁻¹ : O-H).
mais N-OH a été remplacé par A - B.



⑦ Ethanoate : base forte \Rightarrow forme salée, puis form. hydratée avec le donneur halogéné.



\downarrow S_N2.



note V(1) : pas de couplage car H symétriques.

⑧ Structure de l'époxyde par CMR.
les extraits rotatifs (1735 cm⁻¹)

1 group alcool apparaît (3470 cm⁻¹)

5 Suivi cinétique par RMN 4H

$$\text{① } \text{Ac} = \frac{m_{\text{Ac}}}{m_{\text{ac}}} = \frac{P_{\text{Ac}} \cdot \text{Vac}}{P_{\text{ac}} \cdot \text{Pvac}} = \frac{\text{dec. Pvac}}{\text{dec. Vac}} = \frac{1,54 \times 1,0}{1,54 \times 1,0} = 1,0 \text{ mol.}$$

$$M_d = 0,9857 \text{ mol/mol.}$$

Acide introduit en très large excès \Rightarrow dégénérescence de l'ordre.

\Rightarrow [Acide] \propto t⁰.

vitesse de formation de l'alcool $v = \frac{dt_{\text{alcool}}}{dt}$.

or être formé par la 1^o alcool et consommé par la 2^o vinyle :

$$v = \frac{dt_{\text{alcool}}}{dt} - \frac{dt_{\text{vinyle}}}{dt} \underset{\text{la négligible}}{\approx} \frac{dt_{\text{alcool}}}{dt} \text{ de p. grande}$$

$$\frac{dt_{\text{alcool}}}{dt} = k_{\text{dir.}} [\text{acide}]^{\beta} \underset{\text{cl.}}{=} k_{\text{dir.}} [\text{alcool}]^{\beta} \rightarrow \text{l'expérience ne permettra d'accéder qu'à } \beta.$$

② Signal = quadruplet \Rightarrow correspond au [groupement CH₂] relatif à CH₃.
Le groupement existe dans les 2 composés (alcool et vinyle) \Rightarrow il existe de 2 signaux.

At bout de t = 2400 s (= 40 min), le signal correspond au déplacement chimique + facile à disposer : c'est donc celui des CH de l'alcool qui était bien présent à t = 2000 s (au début de la P).

$$\delta = 3,9 \text{ ppm} \leftrightarrow \text{CH}_2 \text{ de l'alcool.}$$

$$S = 3,4 \mu \text{ppm} \leftrightarrow \text{CH}_2 \text{ de l'alcool.}$$

③ Hauter de la marche proportionnelle au nb de H responsables du signal.

$$2H \text{ du chaque éthanol pr. un signal} \Rightarrow \text{hauter} = \frac{A \times 2 \times [\text{éthanol}]}{\text{la cl. de proportionnalité}} = [\text{éthanol}]$$

$$v = \frac{dt_{\text{alcool}}}{dt} = - \frac{dt_{\text{éthanol}}}{dt} = k_{\text{dir.}} [\text{alcool}]^{\beta} \Rightarrow - \frac{dt}{dt} = k_{\text{dir.}} [\text{alcool}]^{\beta} = \text{cl. h}^{\beta}.$$

Hypothèse $\beta=0 \Rightarrow h=g(H)$ droite : coef de corrélation = 0,968.

$$\text{Hypothèse } \beta=1 \Rightarrow \text{h} = g(H) \text{ droite : } \frac{h}{g(H)} = \frac{1}{g'(H)} = \frac{1}{-0,9997} = 0,9999$$

ordre partial de 1
validé pour l'éthanol

(9)